

## 1 Du cours

1. No comment.

2. L'équation en jeu est équivalente à  $z^3 = 8e^{-i\pi/2}$ , c'est-à-dire  $z^3 = (2e^{-i\pi/6})^3$  ou encore  $\left(\frac{z}{2e^{-i\pi/6}}\right)^3 = 1$ , c'est-à-dire  $\frac{z}{2e^{-i\pi/6}} \in \{1, j, j^2\}$ , et on en déduit l'ensemble de solutions :

$$\mathcal{S} = \{2e^{-i\pi/6}, 2e^{i\pi/2}, 2e^{7i\pi/6} = 2e^{-5i\pi/6}\} = \{\sqrt{3} - i, 2i, -\sqrt{3} - i\}$$

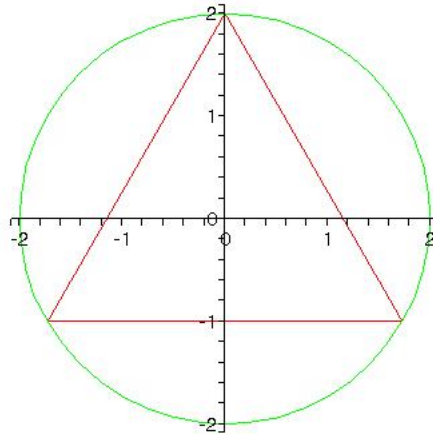


FIG. 1 – Les trois solutions forment un triangle équilatéral...

3. No comment.

## 2 Une équation banale

1. L'application cotan est définie sur  $E = \mathbb{R} \setminus \{n\pi, n \in \mathbb{Z}\}$ , et clairement  $\pi$ -périodique.

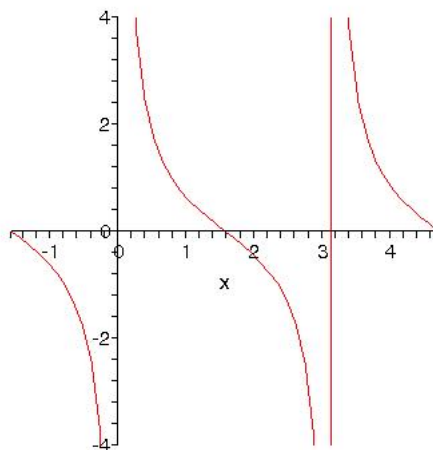


FIG. 2 – Le graphe de cotan sur  $[-\pi/2, 3\pi/2]$

Sur  $E$ , elle est dérivable, de dérivée  $\cotan' = \frac{-\sin^2 - \cos^2}{\sin^2} = -\frac{1}{\cos^2}$ , donc est strictement décroissante sur CHAQUE intervalle  $]n\pi, (n+1)\pi[$  (mais pas leur réunion...). Les limites en  $0^+$  et  $\pi^-$  étant évidentes, le graphe de  $\cotan$  sur  $]0, \pi[$  s'en déduit.

2. Déjà, si  $z^2 = 1$ , alors  $z$  n'est pas solution de  $(E)$ . On pourra donc joyeusement diviser par  $(z^2 - 1)^{2p}$ .

Notre équation est alors équivalente à  $\left(\frac{z^2 + 1}{z^2 - 1}\right)^{2p} = 1$ , ce qui revient à l'existence de  $k \in \llbracket 0, 2p-1 \rrbracket$

tel que  $\frac{z^2 + 1}{z^2 - 1} = e^{ik\pi/p}$ .

Fixons un tel  $k$ .  $\frac{z^2 + 1}{z^2 - 1} = e^{ik\pi/p}$  est équivalente à :  $z^2(1 - e^{ik\pi/p}) = -e^{ik\pi/p} - 1$ . Si  $e^{ik\pi/p} = 1$ , c'est-à-dire  $k = 0$  (cercle trigo...), alors cette équation ( $0 = -2$ ) n'a pas de solution. Pour les autres  $k$ , cela revient à

$$z^2 = \frac{e^{ik\pi/p} + 1}{e^{ik\pi/p} - 1} = \dots = -i \cotan \frac{k\pi}{2p}. \quad (E_k)$$

Lorsque  $p \in \llbracket 1, p-1 \rrbracket$ ,  $\frac{k\pi}{2p} \in ]0, \pi/2[$ , donc a une cotangente strictement positive, donc  $(E_k)$  est

équivalente à  $z = \pm e^{-i\pi/4} \sqrt{\cotan \frac{k\pi}{2p}}$ . Pour  $k = p$ , on obtient  $z^2 = 0$ , c'est-à-dire  $z = 0$ . Enfin,

pour  $k > p$ ,  $\frac{k\pi}{2p} \in ]\pi/2, \pi[$ , donc a une cotangente strictement négative, donc  $(E_k)$  est équivalente à

$$z = \pm e^{i\pi/4} \sqrt{-\cotan \frac{k\pi}{2p}}.$$

3. Il y a l'origine, et  $p-1$  points placés sur chaque « semi-bissectrice » des axes...

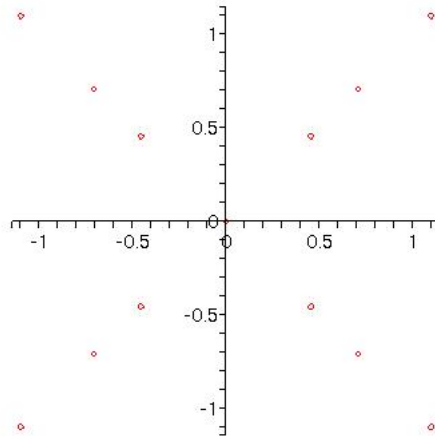


FIG. 3 – Les treize solutions, lorsque  $n = 4$

4. La stricte monotonie de la fonction  $\cotan$  sur  $]0, \pi[$  nous assure que les  $4p-4$  racines non nulles sont distinctes, ce qui fait un total de  $4p-3$  solutions. Maintenant, on avait une équation polynomiale de degré  $4p-2$  (ben oui : les termes en  $z^{4p}$  disparaissent). Comme 0 est « racine double » (on peut mettre en facteur  $z^2$  dans l'équation, puisque les termes constants disparaissent), on a le bon compte!

### 3 Des complexes et de la géométrie

1. Le cas de base correspond à  $a = 1$ ,  $b = j = e^{2i\pi/3}$  et  $c = e^{-2i\pi/3} = \bar{j} = j^2$ . On a alors  $(a+b+c)^2 = (1+j+j^2)^2 = 0$ , et  $1+j^2+(j^2)^2 = 1+j^2+j^4 = 1+j^2+j = 0$ , donc  $(R)$  est bien vérifiée.

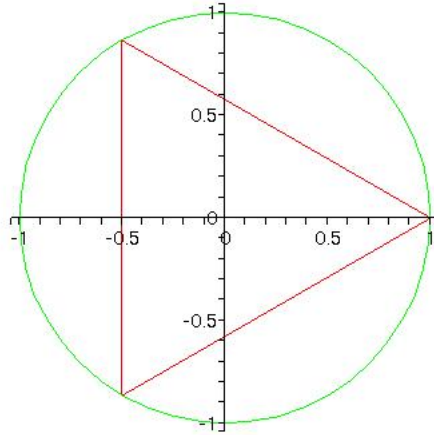


FIG. 4 – Un triangle équilatéral bien original

2. (a)  $G$  est l'isobarycentre, donc  $g = \frac{1}{3}(a + b + c)$ .  
 (b) On a  $a + b + c = 3g + a' + b' + c'$ , mais par ailleurs,  $3g = a + b + c$ , donc  $a' + b' + c' = 0$ .  
 (c)  $\vec{GA}$ ,  $\vec{GB}$  et  $\vec{GC}$  sont trois vecteurs de même norme formant entre eux des angles de  $\pm \frac{2\pi}{3}$ .  
 Leurs affixes sont  $a'$ ,  $b'$  et  $c'$ , donc  $b' = ja'$  et  $c' = j^2a'$  (vu l'orientation de  $(ABC)$  supposée dans l'énoncé). On a maintenant  $(a + b + c)^2 = (3g)^2 = 9g^2$ , alors que :

$$a^2 + b^2 + c^2 = (g + a')^2 + (g + ja')^2 + (g + j^2a')^2 = 3g^2 + 2ga'(1 + j + j^2) + a'^2(1 + j^2 + j^4) = 3j^2,$$

et c'est gagné.

3. (a) D'une part,  $a^2 + b^2 + c^2 = 3g^2 + 2g(a' + b' + c') + (a'^2 + b'^2 + c'^2) = 3g^2 + (a'^2 + b'^2 + c'^2)$  et d'autre part,  $(a + b + c)^2 = (3g)^2 = 9g^2$ , donc  $(R)$  impose :  $a'^2 + b'^2 + c'^2 = 0$ . Maintenant, si on développe  $(a' + b' + c')^2$ , on trouve d'une part  $0^2 = 0$ , et d'autre part  $a'^2 + b'^2 + c'^2 + 2(a'b' + a'c' + b'c')$ , donc  $a'b' + a'c' + b'c' = 0$ .  
 (b) On a :

$$(z - a')(z - b')(z - c') = z^3 - (a' + b' + c')z^2 + (a'b' + a'c' + b'c')z - a'b'c' = z^3 - K,$$

donc  $a'$ ,  $b'$ , et  $c'$  sont les trois solutions de l'équation  $Z^3 = \rho_0 e^{i\theta_0}$ , et ainsi :

$$\{a', b', c'\} = \{\sqrt[3]{\rho_0} e^{i\theta_0/3}, j \sqrt[3]{\rho_0} e^{i\theta_0/3}, j^2 \sqrt[3]{\rho_0} e^{i\theta_0/3}\}$$

(il s'agit de l'égalité de deux ensembles, qui ne préjuge pas des valeurs individuelles de  $a'$ ,  $b'$  et  $c'$ ).

- (c) On a  $(b' = ja'$  et  $c' = j^2a')$  ou  $(b' = j^2a'$  et  $c' = ja')$ . Dans un cas comme dans l'autre, les vecteurs  $\vec{GA}$ ,  $\vec{GB}$  et  $\vec{GC}$  sont de même norme, et font entre eux des angles de  $\pm \frac{2\pi}{3}$ , prouvant que  $(ABC)$  est un triangle équilatéral.

## 4 Deux courbes paramétrées

1. (a) Puisque  $t = t + 1 - 1$  (!), on a  $f(t) = \ln(1 + t) + 1 - \frac{1}{1 + t}$ . Mais si on connaît bien l'application  $u \mapsto \frac{1}{u}$ , on en déduit immédiatement que  $f$  est strictement croissante sur son domaine de définition, en tant que différence d'une fonction strictement croissante et d'une autre strictement décroissante. Puisque  $f(0) = 0$ , on en déduit que  $f$  est strictement négative sur  $] - 1, 0[$  et strictement positive sur  $]0, +\infty[$ .

- (b)  $x$  est définie et dérivable sur  $] -1, +\infty$ , et  $x'(t) = f(t)$  a été étudié plus haut.  $y$  est quant-à-elle définie et dérivable sur  $] -2, +\infty[$ , avec  $y(t) = 2x(t/2)$  (ouvrir les yeux!), donc il n'y a pas un gros travail à faire pour avoir les variations de  $y$ .

|         |           |                         |           |
|---------|-----------|-------------------------|-----------|
| $t$     | -1        | 0                       | $+\infty$ |
| $x'(t)$ |           | - 0 +                   |           |
| $x(t)$  | $+\infty$ | $\searrow$ 0 $\swarrow$ | $+\infty$ |
| $y(t)$  | $\ln 2$   | $\searrow$ 0 $\swarrow$ | $+\infty$ |
| $y'(t)$ |           | - 0 +                   |           |

Au voisinage de  $-1^+$ , on aura une asymptote horizontale, d'équation  $y = \ln 2$ . En 0, il y a un point stationnaire qui est probablement un point de rebroussement, (vu les variations de  $x$  et  $y$ ) et en  $+\infty$ , on peut avoir une branche parabolique horizontale, verticale, une asymptote... ou encore autre chose (qui sait ?!).

- (c) Au voisinage de  $-1$ , il n'y a rien à faire. Au voisinage de  $+\infty$ , on a  $x(t) \sim t \ln t$  alors que  $y(t) \sim t \ln(t/2) \sim t \ln t$  (le passage des équivalents au logarithme est licite lorsque les quantités tendent vers  $+\infty$ , mais c'est à la frontière extérieure du cours; on peut donc le justifier (une seule fois!) en écrivant par exemple :  $x(t) = t \ln(t(1 + 1/t)) = t \ln t + t \ln(1 + 1/t)$ ...)

Ainsi,  $y(t) \sim x(t)$ . On va donc chercher une éventuelle asymptote en étudiant la différence :

$$y(t) - x(t) = t \ln(t/2) + t \ln(1 + 2/t) - (t \ln t + t \ln(1 + 1/t)) = \dots \sim -t \ln 2 \xrightarrow[t \rightarrow +\infty]{} -\infty.$$

Ainsi, on a une « direction asymptotique » sans avoir d'asymptote (et ce n'est pas très facile à représenter. On peut s'en faire une idée avec par exemple le graphe de  $\alpha \mapsto \alpha - \sqrt{\alpha}$ ).

Au voisinage de 0, deux développements limités élémentaires fournissent :

$$\begin{pmatrix} x(t) \\ y(t) \end{pmatrix} = \begin{pmatrix} x(0) \\ y(0) \end{pmatrix} + t^2 \begin{pmatrix} 1 \\ 1/2 \end{pmatrix} + t^3 \begin{pmatrix} -1/2 \\ -1/8 \end{pmatrix} + o(t^3).$$

Les entiers fondamentaux de la courbe qu voisinage du point  $M_0$  sont alors 2 et 3, et on a comme prévu un point de rebroussement (de première espèce).

- (d)

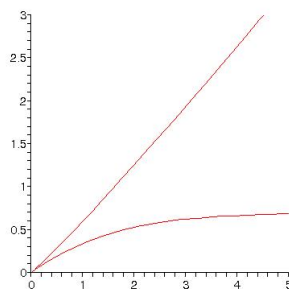


FIG. 5 – La riddoïde

2. (a)  $x(t + 2\pi) = x(t) + 2\pi$  et  $y(t + 2\pi) = y(t)$ .  $M_{t+2\pi}$  est donc l'image de  $M_t$  par la translation de vecteur  $\begin{pmatrix} 2\pi \\ 0 \end{pmatrix}$ .
- (b)  $x(-t) = -x(t)$  et  $y(-t) = y(t)$ , donc  $M_{-t}$  est l'image de  $M_t$  par la réflexion par rapport à l'axe des  $y$ .

- (c) Il suffit d'étudier  $x$  et  $y$  sur  $[0, \pi]$ , ce qui ne pose guère de problème vu les fonctions en jeu. Ensuite, une réflexion par rapport à l'axe des  $y$  et des translations successives nous donneront l'arc  $\Gamma$ .

Ainsi,  $x'(t) = R(1 - \cos t)$  est strictement positive sur  $]0, \pi[$  et s'annule en 0 et  $\pi$ , alors que  $y'(t) = R \sin t$  a un signe plutôt bien connu sur  $[0, \pi]$  :

|         |   |            |        |
|---------|---|------------|--------|
| $t$     | 0 |            | $\pi$  |
| $x'(t)$ | 0 | +          | 0      |
| $x(t)$  | 0 | $\nearrow$ | $R\pi$ |
| $y(t)$  | 0 | $\nearrow$ | $2R$   |
| $y'(t)$ | 0 | +          | 0      |

- (d) Le vecteur vitesse est nul pour  $t = 0$ . L'accélération va donc fournir, si elle est non nulle, la demi-tangente à la courbe. On calcule donc  $\vec{a} = \begin{pmatrix} 0 \\ R \end{pmatrix}$ . L'accélération est verticale. Les variations de  $x$  et  $y$  finissent le travail : on a un « point de rebroussement de première espèce ». On pouvait aussi faire un DL de  $M_t$  au voisinage de 0.

- (e)

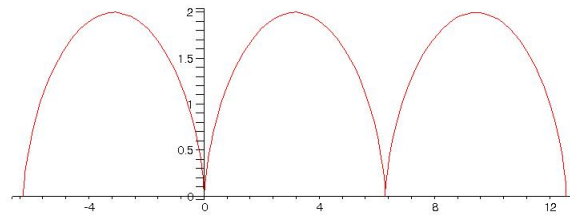


FIG. 6 – La cycloïde (avec  $R = 1$  et  $t \in [-2\pi, 4\pi]$ )

Cette courbe correspond à la trajectoire d'un point fixe à la périphérie d'une roue qui tourne sans glisser sur le sol (typiquement : la valve d'une roue de vélo). Il est intéressant de noter que lorsque ce point est au contact du sol, sa vitesse matérielle est nulle.

## 5 Autour de l'astroïde

1. Les considérations standard de périodicité/parité ramènent l'étude de  $X$  et  $Y$  à  $[0, \pi/2]$ . On pourrait même se ramener à  $[0, \pi/4]$ , en notant que  $M_{\pi/2-t}$  se déduit de  $M_t$  à l'aide de...

Sur  $[0, \pi/2]$  les fonction  $X$  et  $Y$  sont respectivement strictement décroissantes et strictement croissantes :

|         |     |            |                 |
|---------|-----|------------|-----------------|
| $t$     | 0   |            | $\frac{\pi}{2}$ |
| $x'(t)$ | 0   | -          | 0               |
| $x(t)$  | $a$ | $\searrow$ | 0               |
| $y(t)$  | 0   | $\nearrow$ | $a$             |
| $y'(t)$ | 0   | +          | 0               |

Pour la nature du point stationnaire  $M_0$ , on peut faire un DL, ou calculer l'accélération et utiliser la symétrie. Dans un cas comme dans l'autre, on obtient un point de rebroussement de première

espèce. Vu les différentes symétries,  $M_{\pi/2}$  est évidemment de même nature. On peut maintenant représenter l'astroïde :

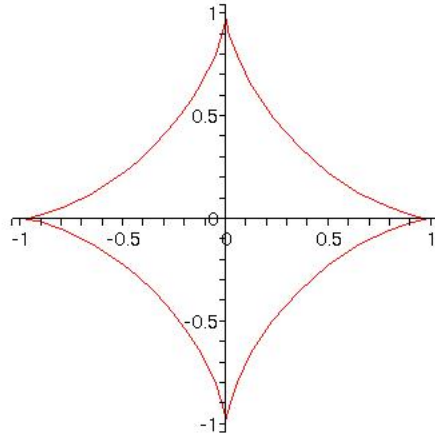


FIG. 7 – L'astroïde (avec  $a = 1$ )

2. Le vecteur vitesse fournit un candidat naturel comme vecteur directeur de la tangente. Pour avoir quelque chose de plus simple, on factorise la quantité non nulle  $3a \cos t \sin t$ , pour trouver :  $\vec{T}_t = \begin{pmatrix} -\cos t \\ \sin t \end{pmatrix}$ . Un vecteur orthogonal à  $\vec{T}_t$  est alors  $\vec{N}_t = \begin{pmatrix} \sin t \\ \cos t \end{pmatrix}$ , et une équation de  $T_t$  est alors (la constante est comme d'habitude évaluée en  $M_t$ ) :

$$x \sin t + y \cos t = K = a \cos^3 t \sin t + a \sin^3 t \cos t = a \sin t \cos t (\cos^2 t + \sin^2 t) = a \sin t \cos t.$$

3. On a  $A_t(x_A, 0)$ , avec  $x_A \sin t = a \sin t \cos t$ , donc ( $\sin t \neq 0$ ) :  $x_A = a \cos t$ . De même,  $y_B = a \sin t$ . On a alors :

$$A_t B_t^2 = a^2 (\cos^2 t + \sin^2 t) = a^2,$$

et  $A_t B_t$  est bien constante.

*Si on place une échelle contre un mur et qu'on la fait glisser jusqu'à la position horizontale, on obtient une famille de droites (segments...) qui « enveloppe » une courbe : c'est l'astroïde.*

4. (a) On a d'une part  $x_H(t) \sin t + y_H(t) \cos t = a \cos t \sin t$  (appartenance de  $H_t$  à  $T_t$ ), et d'autre part  $\vec{OH}_t \cdot \vec{T}_t = 0$ , qui se traduit  $-x_H(t) \cos t + y_H(t) \sin t = 0$ . De ces deux équations, on déduit sans problème par combinaisons linéaires (il n'est pas utile de résoudre un système, ici ; pourquoi?) :

$$\begin{cases} x_H(t) = a \cos t \sin^2 t \\ y_H(t) = a \sin t \cos^2 t \end{cases}$$

- (b) On a :

$$\vec{V}_t = \begin{pmatrix} -\sin t(1 - 3 \cos^2 t) \\ \cos t(1 - 3 \sin^2 t) \end{pmatrix}$$

Il semble alors raisonnable de faire intervenir  $t_1$  (resp.) l'unique réel entre 0 et  $\frac{\pi}{2}$  dont le sinus (resp. cosinus) vaut  $\frac{1}{\sqrt{3}}$ . Puisque  $\sin t_1 = \frac{1}{\sqrt{3}} < \frac{1}{\sqrt{2}} = \sin \frac{\pi}{4}$ , on a par croissance du sinus sur  $[0, \pi/2]$  :  $t_1 < \frac{\pi}{4}$  ; et de même :  $t_2 > \frac{\pi}{4}$ . La connaissance des fonctions sinus et cosinus nous

donne alors le signe de  $x'_H(t)$  et  $y'_H(t)$  sur  $]0, \pi/2[$  :

|         |   |          |          |                 |
|---------|---|----------|----------|-----------------|
| $t$     | 0 | $t_1$    | $t_2$    | $\frac{\pi}{2}$ |
| $x'(t)$ |   | +        | 0        | -               |
| $x(t)$  | 0 | $x(t_1)$ | $x(t_2)$ | 0               |
| $y(t)$  | 0 | $y(t_1)$ | $y(t_2)$ | 0               |
| $y'(t)$ |   | +        | 0        | -               |

Lorsque  $t$  tend vers 0,  $x_H(t)$  et  $y_H(t)$  tendent vers 0, mais avec  $\frac{y_H(t)}{x_H(t)} = \cotan t \xrightarrow[t \rightarrow 0^+]{+\infty}$ , donc la courbe présente une « demi-asymptangente » (...) verticale ! Même chose au voisinage de  $\frac{\pi}{2}$ . Notons que si on avait prolongé la courbe à  $[0, \pi/2]$ , il n'y aurait plus eu de problème puisque  $H_0$  n'est pas stationnaire. Il reste à représenter le lieu décrit par  $H_t$  :

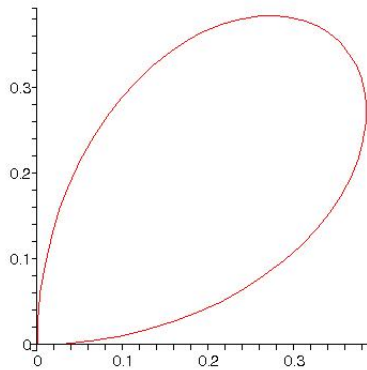


FIG. 8 – Les  $H_t$ , pour  $t \in ]0, \pi/2[$

(attention au sens de parcours...) Et pour le même prix :

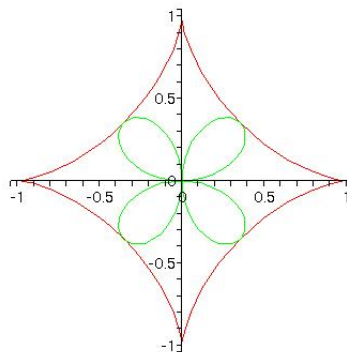


FIG. 9 – Les  $M_t$  et  $H_t$ , pour  $t \in [0, 2\pi]$

On pourra commenter la présence de points de contact entre les deux courbes...